

# АНТИФРИКЦІЙНІ ТА ФРИКЦІЙНІ МАТЕРІАЛИ

УДК 621.891

*А. Г. Косторнов, аcad. НАН України,  
О. І. Фуцич, канд. техн. наук, старш. наук. співроб.,  
В. Ф. Горбань, д-р техн. наук, старш. наук. співроб.,  
Т. М. Чевичелова, наук. співроб.,  
О. Д. Костенко, наук. співроб.*

## ВПЛИВ КОРОТКОЧАСНОГО ОПРОМЕННЯ ПОВЕРХНІ ПОРОШКОВИХ КОМПОЗИЦІЙ ПОТОКОМ КОНЦЕНТРОВАНИХ СОНЯЧНИХ ПРОМЕНІВ НА МІКРОМЕХАНІЧНІ ХАРАКТЕРИСТИКИ ТРИБОТЕХНІЧНИХ МАТЕРІАЛІВ

Інститут проблем матеріалознавства НАН України

*Досліджено вплив великої швидкості нагрівання до температури 900 °C потоком концентрованих сонячних променів експериментальних композицій Cu–Sn–P–MoS<sub>2</sub>, спресованих багатостороннім пресуванням із суміші дрібно-dispersних порошків, на структуру, фазовий і хімічний склад та мікромеханічні характеристики синтезованого матеріалу.*

**Сутність проблеми.** Матеріали на основі міді Cu–Sn–P–MoS<sub>2</sub> належать до класу нових композиційних антифрикційних матеріалів, розроблених в Інституті проблем матеріалознавства НАН України [1–3]. Їх отримують методом пресування суміші вихідних порошків із наступним спіканням у водні за температури 750–780°C протягом двох годин. Структура спечених матеріалів є мікрогетерогенною, але відносно грубозернистою. Матрицею цього матеріалу, яка несе основне навантаження, є мідна основа, легована оловом у вигляді α–твердого розчину в міді і фосфором у вигляді фосфіду міді Cu<sub>3</sub>P. Конгломерат сульфід міді з дисульфідом молібдену виконує роль твердого мастила. Утворення конгломерату пояснюється таким чином. Під час спікання дисульфід молібдену частково розкладається на молібден і сірку. В свою чергу, частина сірки, звільнена під час дисоціації дисульфіду молібдену MoS<sub>2</sub>, вступає у взаємодію з мідлю і утворює сульфід міді Cu<sub>2</sub>S, а звільнений при цьому молібден – з фосфором фосфід молібдену.

Слід очікувати, що зі зменшенням розміру вихідних порошків, яке можна досягнути розмолом їх суміші у диспергаторі, збільшенням температури спікання і швидкості нагрівання структурний стан синтезованого матеріалу має наблизатися до дрібнокристалічного стану, а його властивості, в тому числі і мікромеханічні, поліпшуватися.

**Постановка завдання.** Застосування нового методу для синтезу матеріалу, який приводить до зміцнення поверхні матеріалу за рахунок підвищення його мікромеханічних характеристик, яке спричиняє поліпщенню його триботехнічних характеристик, передусім зносостійкості, є актуальним завданням. Відомо, що за допомогою потоку концентрованих сонячних променів, який фокусується сферичними дзеркалами гелієвої установки СГУ-2 на поверхні порошкових композицій, можна нагріти їх за короткий час до високої температури.

Тому метою дослідження у цій роботі є дослідження процесу синтезу матеріалу на основі міді під дією потоку концентрованих сонячних променів, а саме:

- вивчення впливу великої швидкості нагрівання поверхні експериментальних композицій Cu–Sn–P–MoS<sub>2</sub> на структуру, фазовий і хімічний склад та мікромеханічні характеристики синтезованого матеріалу.
- установлення можливості отримання матеріалу Cu–Sn–P–MoS<sub>2</sub> дрібнокристалічного стану або наближеного до нього, застосуванням для його синтезу короткочасної (1 хв) дії потоку концентрованих сонячних променів, котрий забезпечує нагрівання експериментальних композицій до температури 900 °C.

**Матеріал і методика експерименту.** Як об'єкт дослідження в роботі використано композиційний матеріал Cu–Sn–P–MoS<sub>2</sub>. Джерелом, яке забезпечило швидке нагрівання (за 1 хв) порошкових спресованих композицій, був потік концентрованих сонячних променів, який фокусувався дзеркалами гелієвої установки СГУ-2.

Суміш вихідних порошків була розмолота у диспергаторі протягом 15 год у бензині. Дослідні зразки розміром 10×10×10 (мм<sup>3</sup>) були сформовані з дрібнодисперсної суміші порошків багатостороннім пресуванням до пористості 5%. Експериментальні композиції, які містили зміцнювальні (олово і фосфор) та

антифрикційні (дисульфід молібдену) компоненти, піддавали високошвидкісному нагріванню до температури 900 °C.

Структуру матеріалу поверхні зразків композицій Cu–Sn–P–MoS<sub>2</sub> дослідили за допомогою мікроскопа MIM-8 та електронного SEM, фазовий склад – рентгенівської установки Дрон, розподіл елементів – мікроаналізатора Superprobe-733.

Мікромеханічні властивості оцінювали мікроіндентуванням на установці «Мікрон-гама» за кімнатної температури (навантаження – до  $P=3H$ ) алмазною пірамідою Берковича ( $\alpha=65^\circ$ ) з автоматичними навантаженнями і розвантаженнями, а також записом діаграм навантаження, витримування і розвантаження в координатах  $P-h$ . Точність визначення навантаження  $P$  становить  $10^{-3}$  Н, глибина  $h$  впровадження індентора –  $\pm 2,5$   $^{\circ}\text{nm}$ . Значення характеристик  $P_{\max}$ ,  $h_{\max}$ ,  $h_f$ ,  $h_c$ ,  $h_s$ ,  $H_{IT}$ ,  $E^*$ ,  $E$  визначались і фіксувались автоматично [4; 5]. Твердість ( $H_{IT}$ ), модуль пружності ( $E$ ) визначали відповідно до ISO 14577–2002.

Побудовано співвідношення між величинами  $h_s/h_c$  для оцінювання структурного стану матеріалу поверхонь експериментальних композицій.

**Результати дослідження та їх обговорення.** Нижче наведено структуру (рис. 1), результати рентгенівського (табл. 1, *a*, рис. 2, *a*) і мікроспектрального аналізів (рис. 3), деякі мікромеханічні характеристики (табл. 2) матеріалу робочої поверхні зразків композицій Cu–Sn–P–MoS<sub>2</sub>, нагрітої до температури 900 °C протягом 1 хв під дією потоку концентрованих сонячних променів, та матеріалу протилежної (пасивної) поверхні зразків, котра нагрівалася при цьому лише до температури 600 °C (рис. 4, табл. 1, *b*).

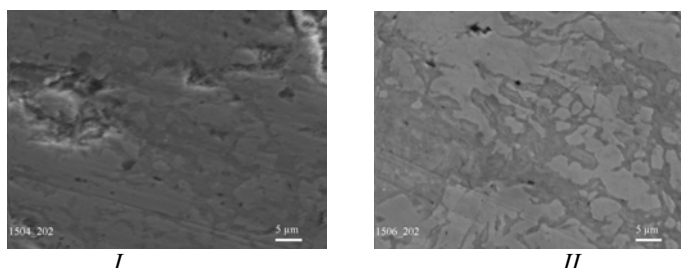


Рис. 1. Структура матеріалу Cu–Sn–P–MoS<sub>2</sub>, синтезованого під дією концентрованих сонячних променів протягом 1 хв за температури 900 °C (активна поверхня зразків, *I*) і 600 °C (пасивна поверхня зразків, *II*),  $\times 1000$

Таблиця 1

Результати рентгенівського аналізу матеріалу Cu–Sn–P–MoS<sub>2</sub>, синтезованого під дією концентрованих сонячних променів протягом 1 хв за температур: *a* – 900 °C (активна поверхня зразків I), *b* – 600 °C (пасивна поверхня зразків, II), *c* – 780 °C спіканням у водні протягом 2 год

| <i>a</i> | Фази | Cu–Sn | Cu <sub>3</sub> P | Cu <sub>2</sub> Mo <sub>3</sub> S <sub>4</sub> |
|----------|------|-------|-------------------|--|
| Вміст, % |      | 89,71 | 6,5               | 3,79   |
| <i>b</i> | Фази | Cu–Sn | Cu <sub>3</sub> P | MoS <sub>2</sub> ,                             |
| Вміст, % |      | 88,9  | 6,8               | 4,3  |
| <i>c</i> | Фази | Cu–Sn | MoP               | MoS <sub>2</sub> ,                             |
| Вміст, % |      | 87,8  | 7,2               | 2,9  |
|          |      |       |                   | Cu <sub>2</sub> S                              |
|          |      |       |                   | 2,1  |

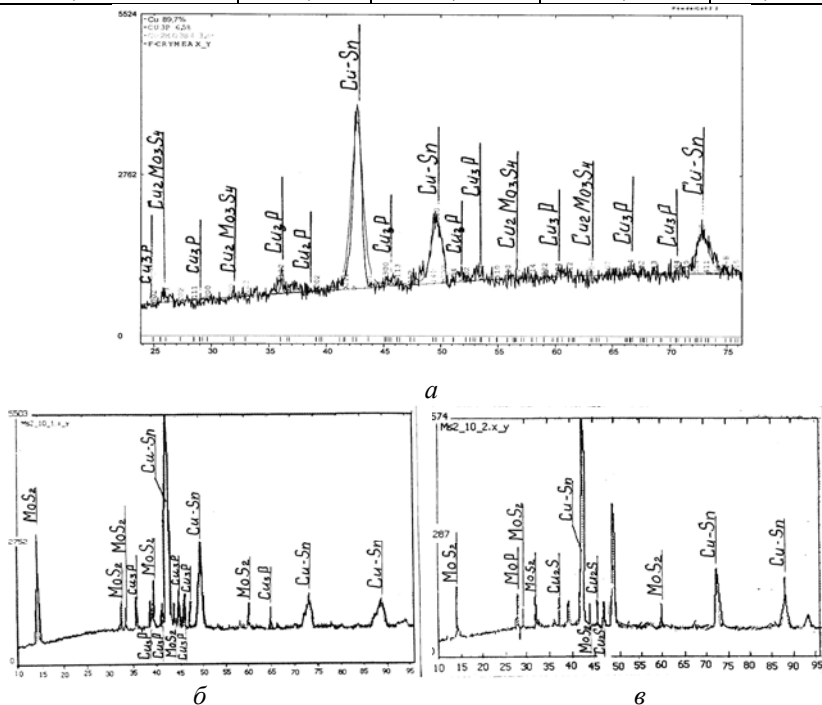


Рис. 2. Рентгенограма матеріалу Cu–Sn–P–MoS<sub>2</sub>, синтезованого під дією концентрованих сонячних променів протягом 1 хв за температури: *a* – 900 °C (активна поверхня зразків I), *b* – 600 °C (пасивна поверхня зразків, II), *c* – 780 °C спіканням у водні протягом 2 год

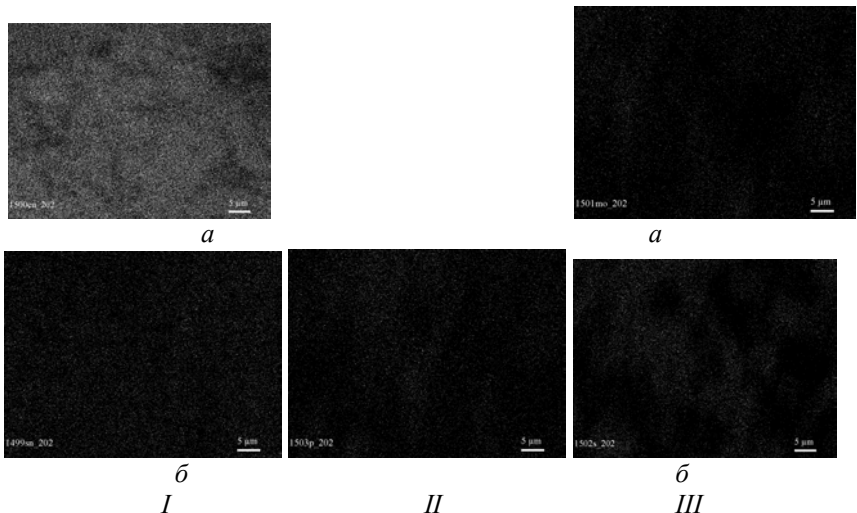


Рис. 3. Розподіл у матеріалі Cu–Sn–P–MoS<sub>2</sub>: I – а – міді; б – олова при утворенні α–твердого розчину Cu–Sn; II – фосфору при утворенні фосфіду міді Cu<sub>3</sub>P; III – а – молібдену, б – сірки при утворенні твердого мастила складного сульфіду Cu<sub>2</sub>Mo<sub>3</sub>S<sub>4</sub>, ×3000

Таблиця 2

### Мікромеханічні властивості зразків матеріалу Cu–Sn–P–MoS<sub>2</sub>

| Метод отримання матеріалу  | Мікромеханічні властивості зразків матеріалу |         |       |           |                        |                     |
|--|--|---------|-------|-----------|------------------------|---------------------|
|  | $H_{IT}$ , ГПа                               | $hs/hc$ | $E^*$ | $E$ , ГПа | $\varepsilon_{es}$ , % | $\sigma_{es}$ , ГПа |
| Матеріал поверхні зразків Cu–Sn–P–MoS <sub>2</sub> , синтезований під дією потоку концентрованих сонячних променів за температури 900 °C протягом 1 хв | 1,72   | 0,0300  | 97,1  | 101,8     | 0,921                  | 0,527               |
| Матеріал поверхні зразків Cu–Sn–P–MoS <sub>2</sub> , синтезований за температури 600 °C протягом 1 хв  | 1,25   | 0,0252  | 49,4  | 49,6      | 0,775                  | 0,383               |
| Матеріал композицій Cu–Sn–P–MoS <sub>2</sub> , синтезований спіканим у водні за температури 780 °C протягом 2 год                                      | 1,38   | 0,027   | –     | 64        | 0,860                  | 0,423               |

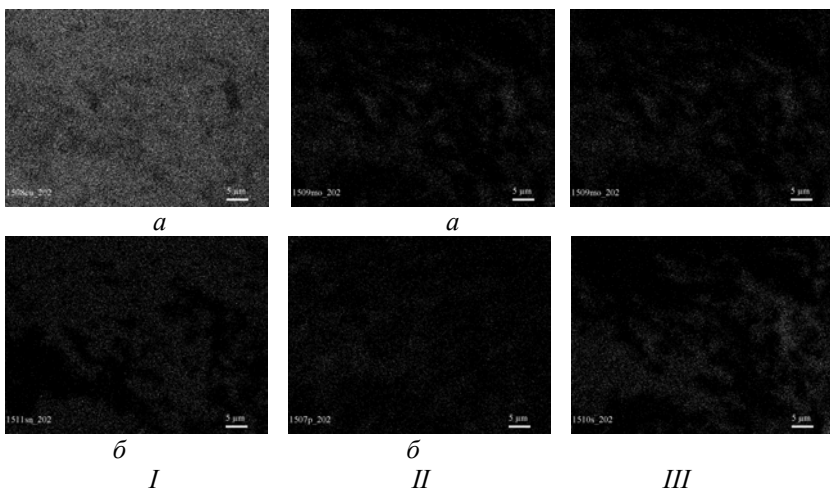


Рис. 4. Розподіл у матеріалі Cu–Sn–P–MoS<sub>2</sub> при нагріванні пасивної поверхні зразків (600 °C, 1хв): I – а–міді; б – олова з утворенням α–твёрдого розчину Cu–Sn; II – а–молібдену, б – фосфору з утворенням фосфіду молібдену MoP; III – сірки зі збереженням вихідної кількості дисульфіду молібдену MoS<sub>2</sub>, ×3000

Із табл. 1, а і рис. 2; 3 випливає, що в процесі короткочасної дії потоку концентрованих сонячних променів на поверхню зразків порошкових композицій Cu–Sn–P–MoS<sub>2</sub> за температури 900 °C утворюється α–твёрдий розчин олова у міді (рис. 2 а, 3-I), фосфід міді Cu<sub>3</sub>P (рис. 2, а, 3-II) і складний сульфід Cu<sub>2</sub>Mo<sub>3</sub>S<sub>4</sub> (рис. 2 а, 3-III) [6]. Відомо, що табличне значення періоду кристалічної гратки чистої міді становить 3,621 (lattice a Cu=3,621). За результатами рентгенівського аналізу для матеріалу поверхні експериментальних композицій його значення дорівнює 3,6751 (табл. 1, а, lattice a Cu = 3,6751). Це свідчить про розчинність олова у кристалічній гратці міді з утворенням α–твёрдого розчину (рис. 2, а).

Фосфід міді Cu<sub>3</sub>P зміцнює несучу структурну складову, а отже підвищує зносостійкість матеріалу Cu–Sn–P–MoS<sub>2</sub>. Як видно з рис. 3-II, ця фаза рівномірно розподілена у матриці матеріалу.

Після опромінення поверхні спресованих композицій потоком концентрованих сонячних променів дисульфід молібдену, який було введено у вихідну суміш порошків як тверде мастило, за температури 900 °C частково розклався на Mo і Mo<sub>3</sub>S<sub>4</sub>, що показав

рентгенівський аналіз спеченого  $\text{MoS}_2$ . Останній, вступивши у взаємодію з мідлю, утворив складний сульфід  $\text{Cu}_2\text{Mo}_3\text{S}_4$  (табл. 1, а, рис. 2 а, 3 – III) [6], який і буде виконувати роль твердого мастила у синтезованому матеріалі  $\text{Cu–Sn–P–MoS}_2$ .

У процесі короткочасної дії потоку концентрованих сонячних променів на поверхню порошкових композицій  $\text{Cu–Sn–P–MoS}_2$  в матеріалі пасивної поверхні, яка нагрівається за 1 хв до температури 600 °C, також утворюються  $\alpha$ -твердий розчин олова у міді, фосфід міді  $\text{Cu}_3\text{P}$  і залишається без змін дисульфід молібдену (рис.4, табл.1, б).

Таким чином, синтезується не тільки матеріал поверхні зразків, на яку безпосередньо короткочасно діє потік концентрованих сонячних променів і нагріває її до температури 900 °C, але й матеріал протилежної її поверхні, яка за цю 1 хв нагрівається лише до 600 °C. Однак, як випливає із отриманих результатів, фазовий склад поверхонь матеріалу при цьому різний (табл. 1, а, б).

Для порівняння було досліджено фазовий склад зразків композицій  $\text{Cu–Sn–P–MoS}_2$ , отриманих за традиційною технологією пресування та спікання (табл. 1, в).

У рентгенограмах зразків композицій, спечених за температури 780 °C протягом 2 год, появляються лінії фосфіду молібдену  $\text{MoP}$  і сульфіду міді  $\text{Cu}_2\text{S}$ . Поява вказаних ліній свідчить про те, що під час спікання дисульфіду молібдену частково розкладається на молібден і сірку. У свою чергу частина сірки, звільнена під час дисоціації дисульфіду молібдену  $\text{MoS}_2$ , вступає у взаємодію з мідлю і утворює сульфід міді  $\text{Cu}_2\text{S}$ , а звільнений при цьому молібден – з фосфором фосфід молібдену (рис. 4, табл. 1, в).

Сульфід міді, так само, як і дисульфід молібдену, а також їх конгломерат – це тверде мастило.

Таким чином, фазовий склад зразків одних і тих же порошкових композицій  $\text{Cu–Sn–P–MoS}_2$ , синтезованих під час нагрівання потоком концентрованих сонячних променів протягом 1 хв за температур 900 і 600 °C та спіканням у водні за температури 780 °C протягом 2 год, різний (табл. 1, а, б, в) і, як показано в табл. 2, різні і їх мікромеханічні властивості.

Як випливає із табл. 2, співвідношення величин  $h_s/h_C$  для матеріалу робочої поверхні зразків композицій  $\text{Cu–Sn–P–MoS}_2$  дає нам підстави для припущення [4; 5]: композиція не зберігає дрібнокристалічного стану, незважаючи на те, що матеріал був

спресований із суміші дрібнодисперсних порошків і для його синтезу застосовано короткочасну (1хв) дію потоку концентрованих сонячних променів та високу швидкість нагрівання до температури 900 °C (0,95 від температури плавлення). За оцінкою авторів праць [4; 5] розмір зерна в структурі такого матеріалу становить приблизно 5 мкм.

Те ж саме стосується і матеріалу пасивної поверхні композиції Cu–Sn–P–MoS<sub>2</sub>, сформованого за 1 хв за температури 600 °C. Співвідношення величин  $h_s/h_c$  для нього становить 0,0252. Це свідчить про те, що структура останнього може бути грубозернистою.

Аналіз даних табл. 2, показав, що мікромеханічні характеристики матеріалу активної поверхні композиції Cu–Sn–P–MoS<sub>2</sub> є вищими ніж:

- матеріалу пасивної поверхні тієї ж композиції Cu–Sn–P–MoS<sub>2</sub>, а саме:  $H_{IT}>_B 1,4$ ;  $hs/hc>_B 1,2$ ;  $E^*>_B 1,96$ ;  $E>_B 2,0$ ;  $\varepsilon_{es}>_B 1,2$ ;  $\sigma_{es}>_B 1,40$  разу;

- матеріалу композиції Cu–Sn–P–MoS<sub>2</sub>, спресованої із суміші дрібнодисперсних порошків і синтезованої спіканням у водні за температури 780 °C протягом 2 год, а саме:  $H_{IT}>_B 1,246$ ;  $hs/hc>_B 1,1$ ;  $E>_B 1,59$ ;  $\varepsilon_{es}>_B 1,07$ ;  $\sigma_{es}>_B 1,25$  разу;

- відомого антифрикційного матеріалу Cu–9Sn–CuWO<sub>4</sub>–5MoS<sub>2</sub>, спресованого із порошків розміром 40 мкм і синтезованого спіканням у водні за температури 780 °C протягом 2 год [7], мікромеханічні властивості якого були визначені в указаній роботі, а саме:  $H_{IT}>_B 1,64$ ;  $hs/hc>_B 2$ ;  $E^*>_B 1,50$ ;  $E>_B 1,50$ ;  $\varepsilon_{es}>_B 1,92$ ;  $\sigma_{es}>_B 1,60$  разу.

Останній має високі триботехнічні властивості ( $f=0,09$ ,  $I=4$  мкм/км) [7] за швидкості ковзання 0,5 м/с, тиску 17,5 МПа і температури 150 °C та роботи на повітрі з подачею мастила у зону тертя.

Матеріал пасивної поверхні порошкових композицій Cu–Sn–P–MoS<sub>2</sub>, синтезований за температури 600 °C, має також деякі більш високі мікромеханічні характеристики, ніж у згаданого вище матеріалу Cu–9Sn–CuWO<sub>4</sub>–5MoS<sub>2</sub>, а саме:  $H_{IT}>_B 1,19$ ;  $hs/hc>_B 1,62$ ;  $\varepsilon_{es}>_B 1,61$ ;  $\sigma_{es}>_B 1,19$ , за винятком  $E$  і  $E^*$ , які є помітно меншими: у 1,36 ( $E^*$ ) і 1,38 ( $E$ ) рази.

### **Висновки**

1. При опромінюванні потоком концентрованих сонячних променів поверхні зразків композицій Cu–Sn–P–MoS<sub>2</sub>,

сформованих із розмолотої суміші дрібнодисперсних порошків багатостороннім пресуванням, вже під час нагрівання за 1 хв до температури 900 °C синтезується новий композиційний матеріал.

2. У процесі опромінювання на поверхні зразків порошкових композицій Cu–Sn–P–MoS<sub>2</sub> утворюються: а–твердий розчин олова у міді; фосфід міді Cu<sub>3</sub>P, котрий зміцнює матрицю матеріалу, і складний сульфід Cu<sub>2</sub>Mo<sub>3</sub>S<sub>4</sub>, який виконує роль твердого мастила. Дисульфід молібдену MoS<sub>2</sub> за температури 900 °C, взаємодіючи з міддю, утворює складний сульфід Cu<sub>2</sub>Mo<sub>3</sub>S<sub>4</sub> [6].

3. За результатами рентгенівського аналізу фазовий склад матеріалу поверхні зразків після нагріву до температури 900 °C такий: 89,71(Cu–Sn)+6,5 Cu<sub>3</sub>P+3,79Cu<sub>2</sub>Mo<sub>3</sub>S<sub>4</sub>.

4. Структура синтезованого матеріалу поверхні зразків композицій являє собою а–твердий розчин олова у міді, у якому розподілені зміцнювальна фаза–фосфід міді Cu<sub>3</sub>P і тверде мастило Cu<sub>2</sub>Mo<sub>3</sub>S<sub>4</sub>.

5. Структура матеріалу поверхні зразків композицій, синтезованих за температури 600 °C, на яку безпосередньо не діяв потік концентрованих сонячних променів, являє собою а–твердий розчин олова в міді, у якому розподілені зміцнювальна фаза–фосфід міді Cu<sub>3</sub>P і тверде мастило MoS<sub>2</sub>.

6. Мікромеханічні характеристики матеріалу поверхонь зразків композицій Cu–Sn–P–MoS<sub>2</sub>, синтезованих за температури 900 °C, є вищими, ніж за температури 600 °C:

7. Мікромеханічні характеристики матеріалу поверхонь експериментальних зразків композицій Cu–Sn–P–MoS<sub>2</sub>, синтезованого як за температури 900 °C, так і за температури 600 °C, є вищими, ніж у такого ж композиційного матеріалу, отриманого пресуванням розмолотої суміші дрібнодисперсних порошків і наступним спіканням у водні за температури 780 °C протягом 2 год, а також відомого композиційного антифрикційного матеріалу Cu–9Sn–7,5CuWO<sub>4</sub>–5MoS<sub>2</sub> [7], спресованого із порошків розміром 40 мкм і синтезованого спіканням у водні за температури 780 °C протягом 2 год.

8. Метод короткочасного опромінення поверхні порошкових композицій Cu–Sn–P–MoS<sub>2</sub>, спресованих із розмолотої суміші дрібнодисперсних порошків, потоком концентрованих сонячних променів може бути застосований для спікання сформованих

малогабаритних заготовок і суттєвого зміщення матеріалу їх поверхні за рахунок підвищення його мікромеханічних характеристик.

### **Список літератури**

1. Пат. 72823 Україна. Порошковий антифрикційний матеріал на основі міді / А. Г. Косторнов, О. І. Фущич // Промислова власність.–2005.–№ 4.
  2. Пат. 73217 Україна. Композиційний антифрикційний самозмащувальний матеріал на основі міді / А. Г. Косторнов, О. І. Фущич, Т. М. Чевичелова та ін. // Промислова власність. –2005.–№ 6.
  3. Пат. 77601 Україна. Самозмащувальний композиційний антифрикційний матеріал на основі міді / А. Г. Косторнов, Т. М. Чевичелова, О. І. Фущич та ін.//Промислова власність. –2006.–№ 12.
  4. Горбань В. Ф. Свойства вторичных структур металлов и покрытий // Металлофиз. новейшие технологии.–2007.–Т. 25.–№ 11.–С. 1527–1535.
  5. Фирстов С. М., Горбань В. Ф., Печковський Э. П., Мамека Н. А. Уравнение индентирования//Доповіді академії наук України.–2007.–№ 12.–С. 100–106.
  6. В. Л. Калихман, Е. П. Гладченко, А. Г. Дуксина и др. Рентгенографическое исследование взаимодействия некоторых халькогенидов Mo. W. Nb. Та с медью, серебром, никелем, кобальтом // Порошковая металлургия.–1971.–№ 6.–С. 57–60.
  7. Косторнов А. Г., Пасичный В. В., Фущич О. И. и др. Использование вольфрамата меди, полученного переработкой вольфрамосодержащих отходов, в качестве добавки к антифрикционному материалу // Порошковая металлургия.–2009.–№ 11/12.–С. 132–139.
- Косторнов А.Г., Фущич А.И., Горбань В.Ф., Чевичелова Т.Н., Костенко А.Д. Воздействие кратковременного облучения поверхности порошковых композиций концентрированных солнечных лучей на микромеханические характеристики триботехнических материалов // Проблеми тертя та зношування: Наук.-техн. зб. – К.: Вид-во НАУ «НАУ-друк», 2010. – Вип. 53. – С.185–194.**
- Исследовано влияние большой скорости нагревания до температуры 900 °C потоком концентрированных солнечных лучей экспериментальных композиций Cu–Sn–P–MoS<sub>2</sub>, спрессованных многосторонним прессованием из смеси мелкодисперсных порошков, на структуру, фазовый и химический состав, а также микромеханические характеристики синтезированного материала.

Рис. 4, табл.2, список літ.:7 наим.

### **The impact of short-term exposure surface powder compositions of concentrated sunlight on micromechanical tribological characteristics of materials**

The effect of high heating rate to a temperature of 900 C the flow of concentrated sunlight Cu–Sn–P–MoS<sub>2</sub>, pressed multilateral experimental compositions pressing of a mixture of fine powders on the structure, phase and chemical composition, as well as the micromechanical characteristics of the synthesized material.

Стаття надійшла до редакції 15.04.10